

# CuO-SiO<sub>2</sub> 和 Cu<sub>2</sub>O-SiO<sub>2</sub> 薄膜的制备及其光学性能

辜敏\* 陈应龙 吴亚珍

(煤矿灾害动力学与控制国家重点实验室,重庆大学资源及环境科学学院,重庆 400044)

**摘要:** 以 CuSO<sub>4</sub>·5H<sub>2</sub>O 和正硅酸乙酯为前驱体,配制了稳定透明的 Cu<sup>2+</sup>-SiO<sub>2</sub> 复合溶胶电解液。采用电化学-溶胶凝胶方法,在恒电位-0.9 V 下得到 Cu-SiO<sub>2</sub> 复合膜,该复合薄膜分别在 250 和 450 ℃的热处理后得到 Cu<sub>2</sub>O-SiO<sub>2</sub> 和 CuO-SiO<sub>2</sub> 复合薄膜。采用 XRD、SEM/EDX 和台阶仪表征了复合薄膜的组成、形貌和厚度;采用紫外-可见光谱和 Z 扫描技术研究了复合薄膜的线性和三阶非线性光学性能。结果表明 Cu<sub>2</sub>O-SiO<sub>2</sub> 和 CuO-SiO<sub>2</sub> 复合薄膜中的 Cu 含量、Cu 的形态(如 Cu<sub>2</sub>O、CuO)及 Cu<sub>2</sub>O 或 CuO 颗粒大小影响薄膜的光学带隙和三阶非线性光学性能,2 种薄膜的光学带隙分别是 2.67 和 2.54 eV,三阶非线性极化率  $\chi^{(3)}$  分别为  $2.31 \times 10^{-6}$  和  $1.36 \times 10^{-6}$  esu。

**关键词:** 电化学-溶胶凝胶;热处理;氧化铜-二氧化硅;氧化亚铜-二氧化硅;复合薄膜;光学带隙;三阶非线性光学

**中图分类号:** O614.121      **文献标识码:** A      **文章编号:** 1001-4861(2017)04-0576-07

**DOI:** 10.11862/CJIC.2017.077

## Preparation and Optical Properties of CuO-SiO<sub>2</sub> and Cu<sub>2</sub>O-SiO<sub>2</sub> Films

GU Min\* CHEN Ying-Long WU Ya-Zhen

(State Key Laboratory of Coal Mine Disaster Dynamics and Control, College of Resources and Environmental Science, Chongqing University, Chongqing 400044, China)

**Abstract:** The Cu-SiO<sub>2</sub> composite films were first prepared by electrochemical sol-gel method at -0.9 V from Cu<sup>2+</sup>-SiO<sub>2</sub> transparent composite sol which was prepared by using CuSO<sub>4</sub>·5H<sub>2</sub>O and tetraethoxysilane as precursors. Then, Cu-SiO<sub>2</sub> composite films were transformed into Cu<sub>2</sub>O-SiO<sub>2</sub> and CuO-SiO<sub>2</sub> composite films by thermal treatment at 250 and 450 ℃, respectively. The composition, morphology and thickness of the two composited films were characterized by X-ray diffraction (XRD) and scanning electron microscopy with energy dispersive X-ray spectroscopy (SEM/EDX) and step profiler, respectively. In addition, the linear and nonlinear optical properties were measured by using UV-Vis spectrum and Z-scan methods. It was found that the optical properties of these composite films were influenced by the Cu content, the forms of Cu element (*i.e.* CuO or Cu<sub>2</sub>O) and particle size of CuO or Cu<sub>2</sub>O in the films. The optical band gaps of Cu<sub>2</sub>O-SiO<sub>2</sub> and CuO-SiO<sub>2</sub> composite films were respectively 2.67 and 2.54 eV, and the third-order nonlinear susceptibilities ( $\chi^{(3)}$ ) were  $2.31 \times 10^{-6}$  and  $1.36 \times 10^{-6}$  esu, respectively.

**Keywords:** electrochemical-sol-gel; thermal treatment; copper oxide-silicon dioxide; cuprous oxide-silicon dioxide; composite film; optical band gap; third-order nonlinear optical property

金属/金属氧化物与介电基质二氧化硅(SiO<sub>2</sub>)构筑的纳微米复合材料具有多种优异的性能而应用到许多领域。Cu 的 2 种氧化物,Cu<sub>2</sub>O(氧化亚铜)和

CuO(氧化铜)都是优良的 p 型半导体,它们具有优异的光学、光电、催化、传感等性能,引起了研究者的广泛关注<sup>[1-5]</sup>。半导体通过引入掺杂,就会极大地改

收稿日期:2016-08-04。收修改稿日期:2017-01-03。

国家重点基础研究发展计划项目(No.2014CB239204)和煤矿灾害动力学与控制国家重点实验室自主项目(No.2011DA105287-ZD201202)资助。

\*通信联系人。E-mail:mgu@cqu.edu.cn

变复合物的光学性能<sup>[6]</sup>, 在非线性光学材料中占有十分重要的地位。Cu<sub>2</sub>O、CuO 与 SiO<sub>2</sub> 构成的 Cu<sub>2</sub>O-SiO<sub>2</sub> 和 CuO-SiO<sub>2</sub> 复合薄膜具有优异的电致变色<sup>[2]</sup>、光学等性能<sup>[3-4]</sup>, 但是, 它们的光学特性研究还很缺乏。

目前制备 Cu<sub>2</sub>O-SiO<sub>2</sub> 和 CuO-SiO<sub>2</sub> 复合薄膜的方法主要是溶胶-凝胶(sol-gel)方法<sup>[3-4,7]</sup>, 也有少数采用气相沉积<sup>[8]</sup>和电沉积法<sup>[9]</sup>, 这些方法都需要后续的热处理或是射线处理。常用的 sol-gel 方法是在室温下用提拉法制备 Cu<sup>2+</sup>-SiO<sub>2</sub> 凝胶薄膜, 再将该薄膜在不同气氛中热处理, 如在 N<sub>2</sub> 气氛中在 220 ℃得到 Cu<sub>2</sub>O-SiO<sub>2</sub>, 在 230 ~ 250 ℃得到 CuO+Cu<sub>2</sub>O-SiO<sub>2</sub> 复合薄膜, 或在 300 ℃得到 CuO-SiO<sub>2</sub> 复合薄膜<sup>[2]</sup>; 在空气中加热到 450 ℃得到 CuO-SiO<sub>2</sub> 复合薄膜<sup>[4]</sup>; 或是加热到 500 ℃, 得到 Cu<sub>x</sub>O-SiO<sub>2</sub>(Cu<sub>x</sub>O 包括 Cu<sub>2</sub>O, CuO, Cu(OH)<sub>2</sub>)薄膜<sup>[7]</sup>; 也可再将 Cu<sup>2+</sup>-SiO<sub>2</sub> 凝胶薄膜经过 γ 射线照射后得到 Cu<sub>2</sub>O-SiO<sub>2</sub><sup>[3]</sup>。由于 sol-gel 制备一定厚度的薄膜要反复多次提拉, 提拉过程在 sol 液相和气相中反复进行, 这样制备的薄膜界面并不均匀。文献报道的电沉积方法<sup>[9]</sup>是将 Cu<sub>2</sub>O 电沉积于单晶 Si(001) 基底上, Si 被氧化为 SiO<sub>2</sub>, 该方法较为复杂。

本文采用的电化学-溶胶凝胶方法是在 Cu<sup>2+</sup>-SiO<sub>2</sub> 溶胶中将 Cu<sup>2+</sup> 和 SiO<sub>2</sub> 共电沉积在 ITO 玻璃上得到 Cu-SiO<sub>2</sub> 复合薄膜, 整个薄膜沉积过程都在液相中进行, 克服了 sol-gel 提拉法制备的凝胶薄膜表面的不均匀的缺点。该方法简单经济, 薄膜的厚度、薄膜中的 Cu 颗粒大小和密度仅由电位/电流和电沉积时间控制, 容易操作。然后将 Cu-SiO<sub>2</sub> 复合薄膜在空气中、不同温度下热处理分别得到 Cu<sub>2</sub>O-SiO<sub>2</sub> 和 CuO-SiO<sub>2</sub> 复合薄膜。制备的复合薄膜的线性和三阶非线性光学性能采用紫外-可见光谱和 Z 扫描方法研究。

## 1 实验部分

### 1.1 Cu<sup>2+</sup>-SiO<sub>2</sub> 复合溶胶的配制

取 5 mL 0.05 mol·L<sup>-1</sup> 的 CuSO<sub>4</sub>, 加入 12.5 mL 的 0.01 mol·L<sup>-1</sup> 的稀硫酸溶液以调节溶液的 pH 值, 然后再加入 5 mL 正硅酸乙酯(TEOS)和 2.5 mL 三次蒸馏水定容至 25 mL。将此配制的混合溶液在室温下充分搅拌 3 h, 即得到均匀、透明澄清的 Cu<sup>2+</sup>-SiO<sub>2</sub> (CuSO<sub>4</sub>-SiO<sub>2</sub>) 复合溶胶, 其 pH 值为 2, Cu<sup>2+</sup> 浓度为 0.01 mol·L<sup>-1</sup>, Cu<sup>2+</sup> 和 SiO<sub>2</sub> 物质的量比值  $n_{\text{Cu}^{2+}}:n_{\text{SiO}_2}$  为

1:9。该复合溶胶在空气中非常稳定。

### 1.2 薄膜的制备

所有电化学实验都在 CHI660 电化学工作站(上海辰华仪器有限公司)上于室温下进行, 电解液均处于静止状态。以配制的 Cu<sup>2+</sup>-SiO<sub>2</sub> 复合溶胶为电解液, 使用三电极电解池, 以 ITO 导电玻璃为工作电极, 铂片为对电极, 饱和硫酸亚汞电极(MSE)为参比电极。进行循环伏安(CV)实验时, 电位是从开路电位向阴极方向扫描到 -1.1 V, 然后反向向阳极方向扫描到 0.45 V, 再反向回到开路电位, 得到 CV 曲线。由 CV 曲线确定薄膜的沉积电位为 -0.9 V, 采用恒电位法, 在该电位下于 ITO 上分别沉积 800 和 200 s 得到复合薄膜 A 和 B。根据本组以前的研究, A 和 B 都为 Cu-SiO<sub>2</sub><sup>[10]</sup>。将所制备的复合薄膜 B 经室温自然晾干, 用小刀从 ITO 上刮取薄膜物质, 采用 DTG-60H 热重差热仪测试其热重差热曲线。根据热重实验结果, 确定薄膜的热处理温度为 250 和 450 ℃。然后将制备的薄膜 A 和 B, 分别经过 250 和 450 ℃热处理后得到 A-250 ℃和 B-450 ℃复合薄膜。热处理的升温速率为 2.5 ℃·min<sup>-1</sup>, 恒温时间为 90 min。

### 1.3 薄膜表征

A-250 ℃ 和 B-450 ℃ 薄膜使用 Rigaku Ultima IVX 射线衍射仪(XRD, 日本, Cu K $\alpha$ ,  $\lambda=0.154$  178 nm,  $U=40$  kV,  $I=30$  mA,  $2\theta=10^\circ\sim80^\circ$ )和 HITACHI S-4800 场发射扫描电镜/能谱仪(SEM/EDS, 日本, 15 kV)测试薄膜的组成和表面形貌, XP-1 型台阶仪(美国 AMBIOS 公司)测试薄膜厚度。

### 1.4 薄膜的光学性质测试

采用 U-4100 型紫外-可见(UV-Vis)光分光光度计检测薄膜的透射和反射光谱。使用自行组建的 Z-scan 平台光路传导系统测试薄膜的非线性光学性能。光源采用西南技术物理研究所研制的 Nd:YAG 脉冲调 Q 激光光源, 脉冲宽度为 7 ns, 重复频率为 1 Hz, 波长为 1 064 nm, Z 扫描实验装置采用美国 Newport 公司研制的 M-Z-SCAN 系统<sup>[10-11]</sup>。

## 2 结果与讨论

### 2.1 Cu-SiO<sub>2</sub> 薄膜的电化学形成

TEOS 通过水解和缩聚形成了-Si-O-Si-网状结构的 SiO<sub>2</sub> 溶胶, 当 Cu<sup>2+</sup> 水溶液与其混合搅拌时, Cu<sup>2+</sup> 嵌入网状的 SiO<sub>2</sub> 溶胶中形成 Cu<sup>2+</sup>-SiO<sub>2</sub> 复合溶胶<sup>[1,12]</sup>。图 1 是 ITO 电极在 Cu<sup>2+</sup>-SiO<sub>2</sub> 溶胶中的 CV 曲线。CV

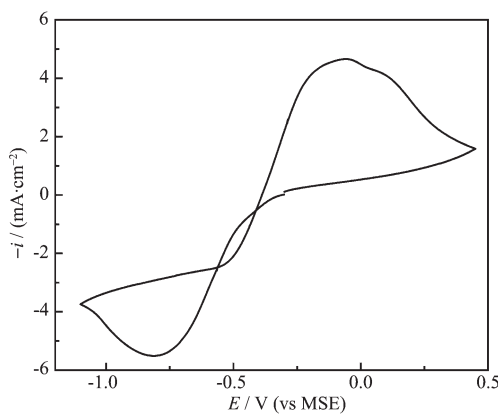


图 1 ITO 电极在  $\text{Cu}^{2+}$ - $\text{SiO}_2$  复合溶胶中的 CV 曲线

Fig.1 Cycle voltammogram for the electrodeposition of copper on ITO glasses electrode in  $\text{Cu}^{2+}$ - $\text{SiO}_2$  composite sol

曲线在-1.1~0.5 V 只出现 1 个还原峰和 1 个氧化峰。对应在 CV 曲线上还原峰(-0.4~1.1 V)是溶胶中存在的  $\text{Cu}^{2+}$ 发生还原反应生成 Cu, 见反应式(1):



CV 曲线中的氧化峰则对应于 Cu 的氧化过程(2):



在 Cu 电沉积的同时,  $\text{SiO}_2$  也通过不同的机理在电极上沉积。在相对较负的电位下, 溶胶里面的  $\text{H}_2\text{O}$  在阴极表面放电<sup>[13-15]</sup>, 见反应(3), 这使阴极表面附近的 pH 值升高, 从而促进  $\text{SiO}_2$  溶胶的凝聚反应而在 ITO 上形成  $\text{SiO}_2$  凝胶膜。在相对较正的电位下, 虽然  $\text{H}_2\text{O}$  没有电解, 但是  $\text{SiO}_2$  可以通过电辅助沉积/吸附在电极上形成  $\text{SiO}_2$  凝聚薄膜。Cu 和  $\text{SiO}_2$  的共沉积形成了  $\text{Cu}-\text{SiO}_2$  薄膜。不同电位下,  $\text{SiO}_2$  和 Cu 的沉积速度是不同的,  $\text{SiO}_2$  在薄膜中的含量随着电位的负移而增大<sup>[13]</sup>。



随着电位负移, 电极表面的  $\text{OH}^-$ 浓度逐渐升高, 可能生成  $\text{Cu}(\text{OH})_2$ 。因此, 由 CV 实验确定薄膜的沉积电位为-0.9 V, 在该电位下  $\text{Cu}^{2+}$ 的还原电流相对较小, 可使 Cu 的沉积速度相对缓慢而均匀, 以保证制备的复合薄膜均匀致密, 而且避免  $\text{Cu}(\text{OH})_2$  的形成。

## 2.2 Cu-SiO<sub>2</sub> 薄膜的热重实验结果

电化学-溶胶凝胶方法制备的  $\text{Cu}-\text{SiO}_2$  薄膜的热重-差热分析(TGA-DTA)曲线如图 2 所示。由图中可以看出在室温~200 °C 温度段, 样品相对重量(%)骤然下降, 对应的差热曲线也有一个吸热峰, 这是

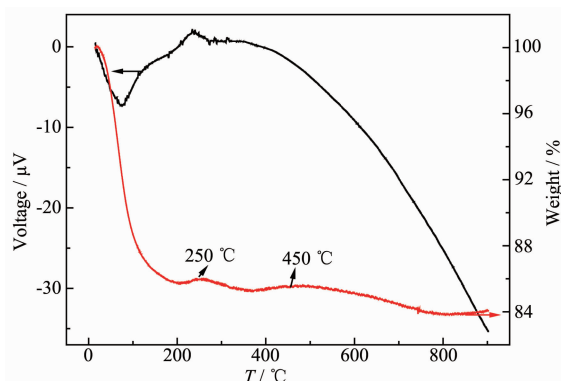


图 2 Cu-SiO<sub>2</sub> 薄膜在空气气氛中的热重差热曲线

Fig.2 Thermal weight differential thermal (TG-DTA) curves of  $\text{Cu}-\text{SiO}_2$  gel film in air atmosphere

薄膜中所含易挥发的有机物质和水分的蒸发引起的。随后(>200 °C)是缓慢的失重过程, 对应放热过程, 这是由少量的残存的有机物质缓慢氧化和燃烧引起。这个过程对应在 DTA 图上是 2 个放热过程(围绕 250 和 450 °C), 其热效应非常大, 而失重却很低, 这表明经过高于 200 °C 热处理后得到的薄膜都很稳定, 不容易分解。薄膜的重量热重曲线表明, 薄膜分别在 250 和 450 °C 重量所有增加, 这是因为 Cu 氧化成  $\text{Cu}_2\text{O}$  和  $\text{CuO}$  所导致<sup>[16]</sup>, 因此这 2 个温度确定为本文的薄膜热处理温度。结合文献<sup>[17]</sup>, 推断薄膜中 Cu 的 2 个氧化过程为:



## 2.3 薄膜表征

### 2.3.1 XRD 掠角衍射

A-250 °C 和 B-450 °C 复合薄膜的掠角 XRD 谱图如图 3 所示。根据粉末衍射 JCPDS 卡片(No.78-

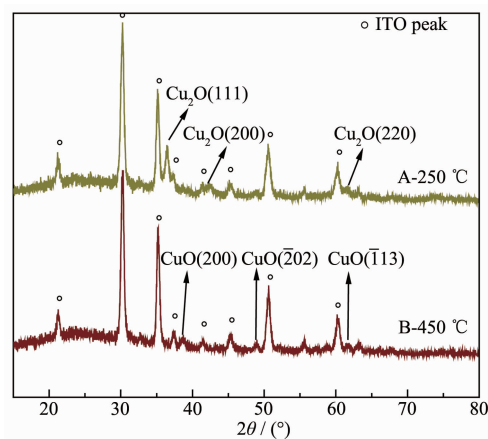


图 3 A-250 °C 和 B-450 °C 薄膜的 XRD 图

Fig.3 XRD patterns of the composite films of A-250 °C and B-450 °C

2076),A-250 °C的XRD在2θ为36.4°、42.3°和61.4°处出现的衍射峰分别对应于Cu<sub>2</sub>O(111)、Cu<sub>2</sub>O(200)和Cu<sub>2</sub>O(220)晶面产生的衍射峰,表明薄膜为Cu<sub>2</sub>O-SiO<sub>2</sub>。B-450 °C薄膜在2θ为38.9°、48.7°和61.5°的衍射峰分别对应于CuO(200)、CuO(202)和CuO(113)晶面产生的衍射峰(JCPDS卡片No.80-0076),表明该薄膜为CuO-SiO<sub>2</sub>。Cu-SiO<sub>2</sub>凝胶复合薄膜中的SiO<sub>2</sub>呈现无定型状态,衍射强度较弱,在薄膜的XRD图中没有出现衍射峰。

A-250 °C和B-450 °C复合薄膜中Cu<sub>2</sub>O或CuO的晶粒尺寸D值用Scherrre公式(6)计算<sup>[18-19]</sup>:

$$D_{hkl} = \frac{K\lambda}{\beta \cos\theta} \quad (6)$$

其中D<sub>hkl</sub>为微晶尺寸(nm),K为Scherrre常数,β为扣除工具宽度后衍射峰的真实半峰宽度,单位为弧度(rad),θ为Bragg角,单位为度(°);λ为所采用的X

表1 A-250 °C和B-450 °C薄膜中CuO<sub>2</sub>和CuO的微晶尺寸

Table 1 Crystallite size of CuO<sub>2</sub> and CuO in the Cu<sub>2</sub>O-SiO<sub>2</sub> and CuO-SiO<sub>2</sub> composite films

Sample	β / rad	θ / (°)	D / nm
D <sub>(111)</sub> -A-250 °C	0.007 19	18.2	23.5
D <sub>(200)</sub> -B-450 °C	0.009 25	19.3	16.9

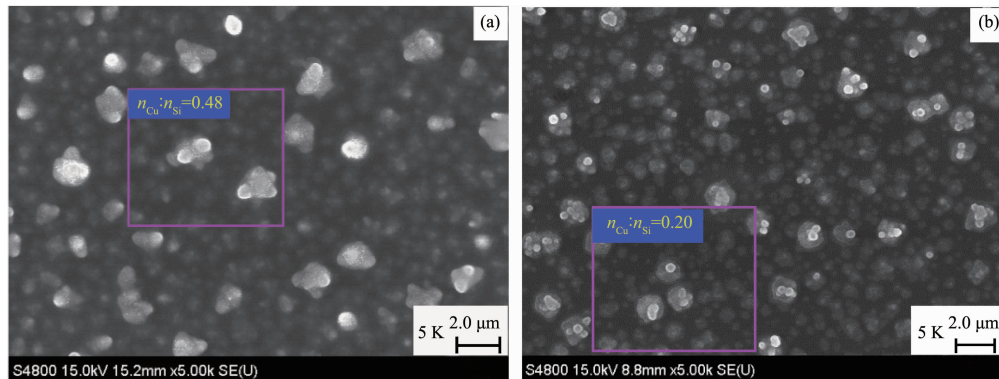


图4 A-250 °C (a)和B-450 °C薄膜(b)的SEM(x5 000)和EDX结果  
Fig.4 SEM images and EDX results of composite films A-250 °C (a) and B-450 °C (b)

### 2.3.3 薄膜的厚度

由台阶仪测得的A-250 °C的平均厚度为490 nm,B-450 °C的平均厚度为400 nm,这主要是因为A薄膜的沉积时间800 s大于B薄膜的沉积时间250 s。台阶仪测得的薄膜厚度比较均匀。

## 2.4 复合薄膜的光学特性

### 2.4.1 线性光学性能

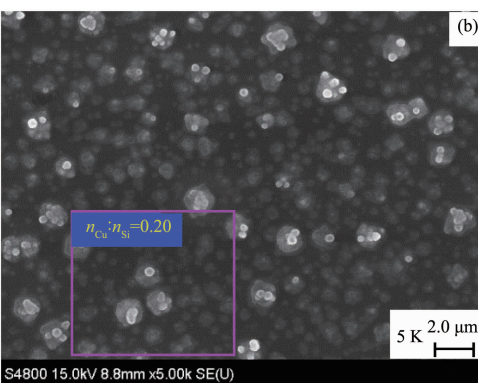
A-250 °C和B-450 °C的UV-Vis光谱如图5所

射线的波长,对Cu K $\alpha$ 为0.154 05 nm;β采用半高宽时K=0.9。计算结果如表1所示,复合薄膜在较高温度处理得到的B-450 °C中CuO的晶粒度较低温处理得到的A-250 °C中的Cu<sub>2</sub>O小。

### 2.3.2 SEM/EDX数据分析

图4a和b分别是A-250 °C和B-450 °C薄膜的SEM图。从图中可以看出,2种薄膜中的颗粒形貌类似,表面都有一些较大的颗粒,这些颗粒由几个小颗粒构成,可能是由于高温烧结引起的。除此之外,较小颗粒是比较均匀的,A-250 °C薄膜中的Cu<sub>2</sub>O和CuO颗粒尺寸较B-450 °C大。

EDX测试薄膜组成的结果表明,A-250 °C薄膜中Cu与Si原子百分比n<sub>Cu</sub>/n<sub>Si</sub>的值为0.48,B-450 °C是0.20,都远高于配制的溶胶中n<sub>Cu</sub>/n<sub>Si</sub>的值0.11,这表明在-0.9 V电位下,没有明显析氢,SiO<sub>2</sub>沉积速度慢而Cu电沉积的速度较快而在Cu-SiO<sub>2</sub>薄膜中富集。如果采用溶胶凝胶方法,得到的Cu<sup>2+</sup>-SiO<sub>2</sub>凝胶薄膜的组成和溶胶组成一致,而且不能够调控。EDX结果证实了制备A-B复合薄膜的电化学-溶胶凝胶方法原理。A-250 °C薄膜Cu的含量高,是因为A膜电沉积了800 s,而B膜仅沉积了200 s。采用电化学沉积技术可以很简单地控制薄膜的组成。



示,其中图5(a)是薄膜在200~1 200 nm范围内的透射光谱。可以看出在400~1 200 nm范围内,B-450 °C薄膜的透射率(T)大于60%;A-250 °C薄膜的透射率在500~1 200 nm范围内大于60%,表明制备的薄膜具有优良的透光性。从薄膜的反射光谱5(b)可以看出在光谱600~1 000 nm范围内反射率(R)较高。

根据薄膜在某个波长处的透光度、反射率和薄

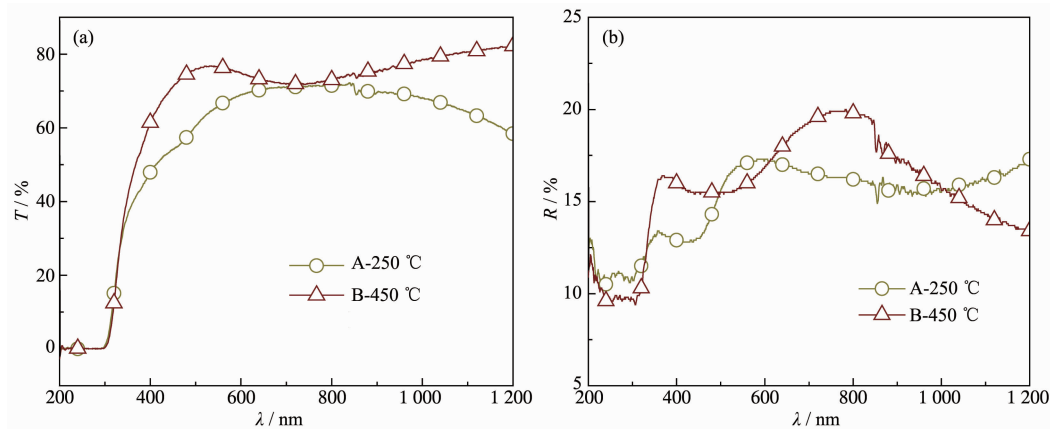


图 5 A-250 °C 和 B-450 °C 复合薄膜的紫外-可见光谱图:(a)透射光谱(b)反射光谱

Fig.5 Transmitted spectrum (a) and reflectance spectrum (b) of composite films A-250 °C and B-450 °C

表 2 薄膜材料的线性光学参数(激光波长 1 064 nm)

Table 2 Optical parameters of composite films

Sample	$L / \text{nm}$	$T / \%$	$R / \%$	$n_0$	$\alpha_0 / \text{m}^{-1}$	$\gamma / (\text{m}^2 \cdot \text{W}^{-1})$	$\beta / (\text{m}^2 \cdot \text{W}^{-1})$	$\chi^{(3)} / \text{esu}$
A-250 °C	490	66	8.9	1.85	$6.6 \times 10^{-5}$	$-8.36 \times 10^{-13}$	$-6.5 \times 10^{-7}$	$2.31 \times 10^{-6}$
B-450 °C	400	80	7.7	1.77	$3.6 \times 10^{-5}$	$-1.038 \times 10^{-13}$	$-1.91 \times 10^{-6}$	$1.36 \times 10^{-6}$

膜厚度,由方程(7)和(8)可以计算出薄膜的折射率  $n_0$  及线性吸收系数  $\alpha_0$ <sup>[10-11]</sup>。由图 5(a)和(b)中所示的在 1 064 nm 处的薄膜透射率  $T$ 、反射率  $R$  和薄膜厚度  $L$  计算得到的薄膜的折射率  $n_0$  与线性吸收系数  $\alpha_0$  列在表 2。

$$n_0 = \frac{1 + \sqrt{R}}{1 - \sqrt{R}} \quad (7)$$

$$\alpha_0 = \frac{1}{L} \ln\left(\frac{1-R}{T}\right) \quad (8)$$

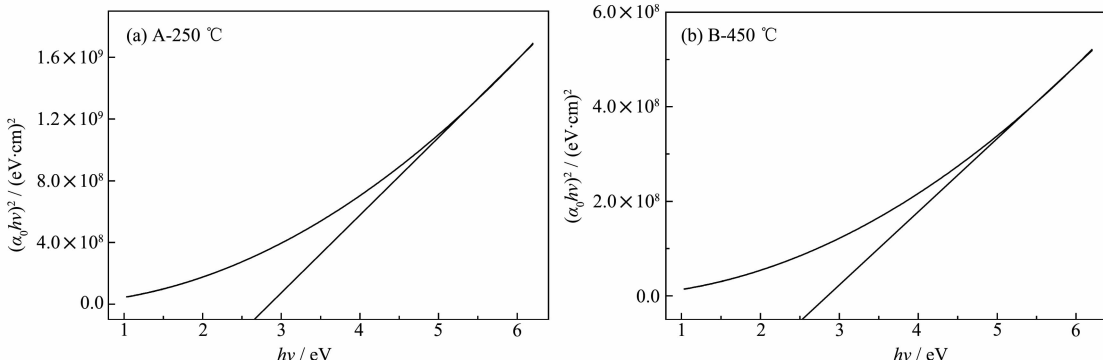
式中,  $n_0$  为样品的线性折射率,  $R$  为反射率,  $T$  为薄膜透过率,  $L$  为样品厚度。

通过 UV-Vis 光谱, 薄膜的光学带隙  $E_g$  可通过  $(\alpha_0 h\nu)^m \sim (h\nu)$  关系图外推得到<sup>[4,20]</sup>:

$$(\alpha_0 h\nu)^m = C(h\nu - E_g) \quad (9)$$

式中,  $C$  是常数,  $h$  是普朗克常数,  $\nu$  是光的频率,  $E_g$  是薄膜光学带隙宽度, 对于直接带隙材料,  $m$  为 2; 间接带隙材料  $m$  为 1/2。

已有研究表明, CuO 和 Cu<sub>2</sub>O 及其复合物 Cu<sub>x</sub>O-SiO<sub>2</sub>(x=0,1)都是直接带隙材料<sup>[4,20]</sup>, 本文按照直接带隙材料( $m=2$ )计算出 A-250 °C(Cu<sub>2</sub>O-SiO<sub>2</sub>)和 B-450 °C(CuO-SiO<sub>2</sub>)的结果如图 6(a)和(b)所示, 由截距得到它们的光学带隙分别为 2.67 和 2.54 eV。文献报道 Cu<sub>2</sub>O 薄膜的光学带隙宽度是 2.0~2.6 eV<sup>[20]</sup>, CuO 薄膜的光学带隙宽度 2.10 eV<sup>[4]</sup>。如果把 CuO 薄膜认为是间接带隙半导体, 那么计算得到 CuO 薄膜的  $E_g$  值是 1.3~2 eV,  $E_g$  值较低<sup>[4]</sup>。电化学-溶胶凝胶得到

图 6 (a) A-250 °C (Cu<sub>2</sub>O-SiO<sub>2</sub>)和(b)B-450 °C (CuO-SiO<sub>2</sub>)复合薄膜的 $(\alpha_0 h\nu)^2$  与  $h\nu$  的关系Fig.6 Plots of  $(\alpha_0 h\nu)^2$  vs  $(h\nu)$  of composite films (a) A-250 °C and (b) B-450 °C

的复合薄膜中 SiO<sub>2</sub> 是无定型的。无定型 SiO<sub>2</sub> 的光学带隙宽度是 8~8.5 eV<sup>[4]</sup>, 如果在 SiO<sub>2</sub> 中掺杂 Cu<sup>2+</sup>, 无定型或晶型的 CuO, 都会影响基质 SiO<sub>2</sub> 的带隙结构, 并且降低 SiO<sub>2</sub> 的光学带隙  $E_g$ 。 $E_g$  的降低程度与 Cu 在其中的含量有关, Cu 含量越高, 降低程度越大。在 SiO<sub>2</sub> 中掺杂其它金属及金属氧化物得到的复合物, 如 SiO<sub>2</sub>-ZnS, SiO<sub>2</sub>-PbO 和 SiO<sub>2</sub>-Nb<sub>2</sub>O<sub>5</sub> 的  $E_g$  值低于 SiO<sub>2</sub><sup>[4]</sup>。Cu<sub>2</sub>O-SiO<sub>2</sub> 和 CuO-SiO<sub>2</sub> 薄膜的光学带隙除了与 Cu 含量有关外, 还与 Cu 的存在形式相关, 因为 Cu<sub>2</sub>O 的  $E_g$  值高于 CuO; 此外, 复合薄膜中掺杂的颗粒大小也会影响光学带隙, 晶粒尺寸减小, 带隙增加<sup>[21]</sup>。综合起来, 虽然 A-250 °C(Cu<sub>2</sub>O-SiO<sub>2</sub>)薄膜中 Cu 的含量高于 B-450 °C(CuO-SiO<sub>2</sub>)薄膜, 颗粒和晶粒较大, 降低了  $E_g$  值, 但是其中 Cu 是以  $E_g$  较高的 Cu<sub>2</sub>O 形式存在, 导致 2 种的  $E_g$  值比较接近。从结果看出 Cu 在薄膜中存在的形态对  $E_g$  的影响较大, 使得 A-250 °C 薄膜的  $E_g$  略大于 B-450 °C 薄膜。

#### 2.4.2 非线性光学性能

图 7(a) 和(b) 是薄膜的 Z 扫描结果, 其中开孔

(OA) 实验点构成的实验曲线在焦点( $z$  是距焦点的距离)处有一个正峰值, 表明薄膜呈非线性饱和吸收特性。根据 Z 扫描测量原理, 对开孔的归一化实验曲线进行拟合可得到三阶非线性吸收系数  $\beta$ 。闭孔/开孔(CA/OA)归一化后的透射率实验曲线上波峰和波谷的位置相对于焦点位置基本对称, 出现先波峰后波谷的形状, 说明存在自散焦效应, 这表明制备的 2 种复合薄膜具有负的非线性折射效应。由 CA/OA 曲线计算非线性折射系数  $\gamma$  的大小。根据  $n_0$ 、 $\beta$  和  $\gamma$  得到三阶非线性极化率  $\chi^{(3)}$ , 所有这些光学参数( $n_0$ 、 $\alpha_0$ 、 $\beta$  和  $\gamma$ )的具体计算方法和过程见文献<sup>[10-11]</sup>。在 1 064 nm 处的结果如表 2 所示。实验中激光波长 1 064 nm 对应的光子能量为 1.17 eV, 小于 2 种复合薄膜的  $E_g$ , 因此单光子的能带填满效应对光学非线性贡献较小。Cu<sub>2</sub>O-SiO<sub>2</sub> 的  $\chi^{(3)}$  为  $2.31 \times 10^{-6}$  esu, CuO-SiO<sub>2</sub> 的  $\chi^{(3)}$  为  $1.36 \times 10^{-6}$  esu, 两者相近; Cu<sub>2</sub>O-SiO<sub>2</sub> 的  $\chi^{(3)}$  略高于 CuO-SiO<sub>2</sub>, 与  $E_g$  的顺序结果一致, 这是因为  $\chi^{(3)}$  的影响因素和  $E_g$  的相同。2 种薄膜的  $\chi^{(3)}$  较高, 表明了它们是潜在的非线性光学材料。

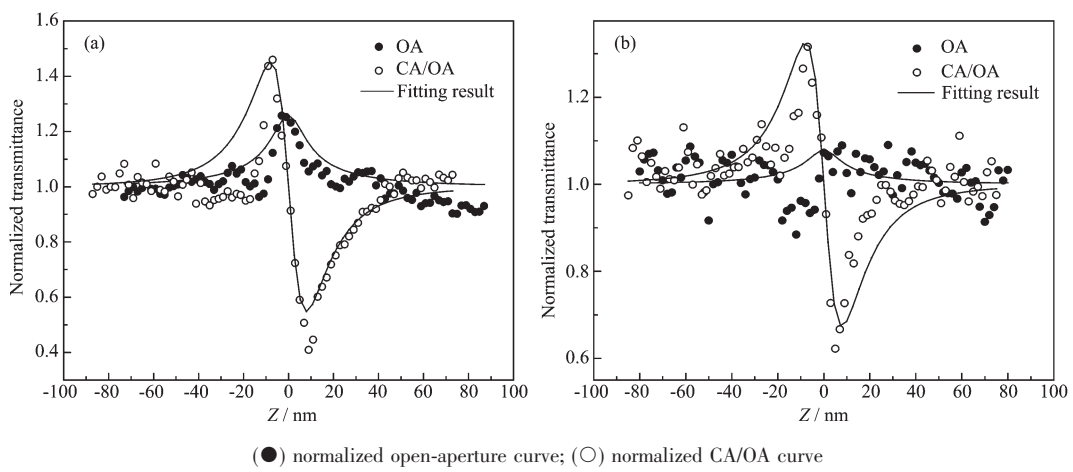


图 7 (a) A-250 °C 和(b) B-450 °C 复合薄膜的 Z 扫描测试和拟合曲线

Fig.7 Measured and fitted Z-scan curves of composite films of A-250 °C (a) and B-450 °C (b)

### 3 结 论

(1) 以 CuSO<sub>4</sub>·5H<sub>2</sub>O 和正硅酸乙酯为前驱体, 配制了 pH 为 2 的透明稳定的 CuSO<sub>4</sub>-SiO<sub>2</sub> 复合溶胶电解液。CV 结果表明, Cu<sup>2+</sup> 和 SiO<sub>2</sub> 在阴极共沉积可以制备 Cu-SiO<sub>2</sub> 薄膜, EDX 测试结果证实了电化学-溶胶凝胶制备 Cu-SiO<sub>2</sub> 复合薄膜的原理。

(2) TGA-DTA 和 XRD 实验结果表明, 在 250 和 450 °C 条件下经热处理 Cu-SiO<sub>2</sub> 薄膜分别得到

Cu<sub>2</sub>O-SiO<sub>2</sub> 和 CuO-SiO<sub>2</sub> 复合薄膜。SEM 结果表明复合薄膜的表面形貌类似, Cu<sub>2</sub>O 的颗粒较 CuO 的大。

(3) SiO<sub>2</sub> 中掺杂 CuO 和 Cu<sub>2</sub>O, 降低了 SiO<sub>2</sub> 的光学带隙。Cu<sub>2</sub>O-SiO<sub>2</sub> 和 CuO-SiO<sub>2</sub> 复合薄膜的带隙受其中 Cu 的含量、Cu 的形态和 CuO/Cu<sub>2</sub>O 颗粒大小等因素的影响。在本文的制备条件下, 2 种薄膜的光学带隙分别是 2.67 和 2.54 eV; 三阶非线性极化率  $\chi^{(3)}$  值分别为  $2.31 \times 10^{-6}$  和  $1.36 \times 10^{-6}$  esu, 是潜在的非线性光学材料。

## 参考文献:

- [1] WU Ya-Zhen(吴亚珍), GU Min(辜敏). *Chinese J. Inorg. Chem.*(无机化学学报), **2016**,**32**(4):617-624
- [2] Akhavan O, Tohidi H, Moshfegh A Z. *Thin Solid Films*, **2009**, **517**:6700-6707
- [3] Zhang X J, Zhang D G, Ni X M, et al. *Mater. Lett.*, **2007**,**61**:248-250
- [4] Vives S, Meunier C. *Mater. Lett.*, **2013**,**91**:165-169
- [5] Armelao L, Barreca D, Bertapelle M, et al. *Thin Solid Films*, **2003**,**442**:48-52
- [6] GE Man-Zhen(葛曼珍), YU Guang-Hui(于光辉), YANG Hui(杨辉), et al. *J. Mater. Sci. Eng.*(材料科学与工程学报), **1996**,**14**(2):31-35
- [7] Shmatko V A, Yalovega G E, Myasoedova T N, et al. *Phys. Solid State*, **2015**,**57**:399-406
- [8] Espinos J P, Morales J, Barranco A, et al. *J. Phys. Chem. B*, **2002**,**106**:6921-6929
- [9] Switzer J A, Liu R, Bohannan E W. *J. Phys. Chem. B*, **2002**, **106**:12369-12372
- [10] FENG Yan-Yan(冯砚艳). *Master Thesis of Chongqing University*(重庆大学硕士论文). **2012**.
- [11] GAN Ping(甘平), GU Min(辜敏), LI Qiang(李强), et al. *J. Inorg. Mater.*(无机材料学报), **2011**,**26**(3):295-299
- [12] De G, Epifani M, Licciulli A. *J. Non-Cryst. Solids*, **1996**, **201**:250-255
- [13] Toledoano R, Shacham R, Avnir D, Mandler D. *Chem. Mater.*, **2008**,**20**:4276-4283
- [14] Kuhn A T, Chan C Y. *J. Appl. Electrochem.*, **1983**,**13**:189-207
- [15] Liu L, Mandler D. *Electrochim. Acta*, **2013**,**102**:212-218
- [16] Sánchez M, Rams J, Ureña A. *Oxid. Met.*, **2008**,**69**:327-341
- [17] DING Yu-Tian(丁雨田), LU Zhen-Hua(卢振华), HU Yong(胡勇), et al. *J. Lanzhou Univ. Tech.*(兰州理工大学学报), **2010**,**36**(2):1-4
- [18] Dubal D P, Gund G S, Lokhande C D, et al. *Mater. Res. Bull.*, **2013**,**48**:923-928
- [19] Diaz-Droguett D E, Espinoza R, Fuenzalida V M. *Appl. Surf. Sci.*, **2011**,**257**:4597-4602
- [20] Pierson J F, Thobor-Keck A, Billard A. *Appl. Surf. Sci.*, **2003**,**210**:359-367
- [21] GAN Xin-Hui(甘新慧), LIAO Yuan-Bao(廖远宝), LIU Dong(刘东), et al. *Chinese J. Lumin.*(发光学报), **2008**,**26**(6):1076-1080